Chemistry & Bioengineering

DOI: 10. 3969/j. issn. 1672 — 5425, 2022, 04, 007

侯敏娜,侯少平,王泽坤,等.响应面法优化红薯叶多酚超声辅助提取工艺及其抗氧化活性研究[J].化学与生物工程,2022,39(4). 33-39.

HOU M N, HOU S P, WANG Z K, et al. Optimization in ultrasonic-assisted extraction process of polyphenols from *Ipomoea batatas* Lam. leaves by response surface methodology and their antioxidant activity [J]. Chemistry & Bioengineering, 2022, 39(4):33-39.

响应面法优化红薯叶多酚超声辅助提取工艺 及其抗氧化活性研究

侯敏娜,侯少平,王泽坤,赖普辉* (陕西国际商贸学院,陕西 咸阳 712046)

摘 要:以红薯叶多酚提取率为评价指标,以提取温度、乙醇体积分数、料液比、提取时间为考察因素,在单因素实验的基础上,采用响应面法优化红薯叶多酚的超声辅助提取工艺,并通过测定红薯叶多酚对 DPPH 自由基、ABTS 自由基的清除能力,评价其抗氧化活性。确定红薯叶多酚的最佳提取工艺为:提取温度 $61~^{\circ}$ 、乙醇体积分数 $72~^{\circ}$ 、料液比 1:21(g:mL)、提取时间 33~min,在此条件下,红薯叶多酚提取率为 0.9066%,与理论值 0.91006% 接近。红薯叶多酚具有一定的抗氧化活性,但在实验浓度范围内,其对 DPPH 自由基、ABTS 自由基的清除率均低于 VC。

关键词:红薯叶;多酚;响应面法;超声辅助提取工艺;抗氧化活性中图分类号:O629.12 R284.2

Optimization in Ultrasonic-Assisted Extraction Process of Polyphenols from Ipomoea batatas Lam. Leaves by Response Surface Methodology and Their Antioxidant Activity

HOU Minna, HOU Shaoping, WANG Zekun, LAI Puhui*

(Shaanxi Institute of International Trade & Commerce, Xianyang 712046, China)

Abstract: Using the extraction rate of polyphenols from *Ipomoea batatas* Lam, leaves as an evaluation index, and extraction temperature, ethanol volume fraction, solid-liquid ratio, and extraction time as evaluation factors, we optimized the ultrasonic-assisted extraction process of polyphenols from *Ipomoea batatas* Lam, leaves by response surface methodologies on the basis of single-factor experiments. Moreover, we evaluated the antioxidant activity of polyphenols from *Ipomoea batatas* Lam, leaves by investigating their scavenging abilities against DPPH free radicals and ABTS free radicals. The optimal extraction conditions can be determined as follows; the extraction temperature of 61 °C, the ethanol volume fraction of 72%, the solid-liquid ratio of 1:21(g:mL), and the extraction time of 33 min. Under above conditions, the extraction rate of polyphenols from *Ipomoea batatas* Lam, leaves can reach 0.9066%, which is close to the theoretical value of 0.91006%. Polyphenols from *Ipomoea batatas* Lam, leaves have certain antioxidant activity, but the scavenging rates of DPPH free radicals and ABTS free radicals by polyphenols from *Ipomoea batatas* Lam, leaves are lower than those by VC in the experimental concentration range.

基金项目:科技部重大新药创制科技重大专项(2018ZX09721005-009-013),陕西省科技厅项目(2020SF-323),陕西国际商贸学院中 药质量标志物创新团队项目(SSY18TD02),陕西省大学生创新创业训练计划项目(S202013123043,S202013123037)

收稿日期:2021-09-17

作者简介:侯敏娜(1981-),女,陕西咸阳人,副教授,主要从事中药药效物质基础的研究,E-mail:276149134@qq.com;通讯作者: 赖普辉(1960-),男,陕西汉中人,教授,主要从事天然药物活性成分研究,E-mail:471601688@qq.com。

Keywords: *I pomoea batatas* Lam. leaf; polyphenols; response surface methodology; ultrasonic-assisted extraction process; antioxidant activity

红薯(Ipomoea batatas Lam.)又称甘薯、番薯、红 苕、地瓜等,属于旋花科番薯属草本植物,在我国各地 都有种植[1-2]。研究表明,红薯叶中含有黄酮类、多酚 类及类胡萝卜素等多种成分,具有降低胆固醇、防止血 管脂质沉积、防止动脉硬化、降血糖、抗氧化、抗肿瘤、 促进新陈代谢等药理作用,是一种优质的天然食 品[3-6]。我国是世界上红薯种植面积最大的国家,红薯 叶资源十分丰富,除少量红薯叶作为蔬菜食用外,大多 被丢弃或用作家畜饲料,造成巨大的资源浪费。因此, 加强对红薯叶资源的开发利用,具有重要的经济效益 和社会效益。作者采用超声辅助法提取红薯叶多酚, 以红薯叶多酚提取率为评价指标,以提取温度、乙醇体 积分数、料液比、提取时间为考察因素,在单因素实验 的基础上,采用响应面法[7-8]优化红薯叶多酚的超声辅 助提取工艺,并通过测定红薯叶多酚对 DPPH 自由 基、ABTS 自由基的清除能力,评价其抗氧化活性。

1 实验

1.1 材料、试剂与仪器

红薯叶,2020 年 9 月采摘于陕西省咸阳市乾县, 品种为济薯 25 号,经陕西国际商贸学院中药学教研室 雷国莲教授鉴定为旋花科番薯属植物红薯(*Ipomoea* batatas Lam.)的干燥叶。

没食子酸标准品(批号 110831-201906),中国食品药品检定研究院; DPPH(批号 S18M11M109858)、ABTS(批号 C10947528),上海麦克林生物科技有限公司;福林酚,上海荔达生物科技有限公司;乙醇,成都科隆化学有限公司;无水碳酸钠,天津天力化学试剂有限公司;实验所用试剂均为分析纯。

TU-1810 型紫外可见分光光度计,北京普析通用 仪器有限责任公司;CP225D 型电子分析天平,赛多利斯;KQ5200DE 型数控超声波提取仪,昆山超声仪器 有限公司;FW100 型高速万能粉碎机,北京科伟永兴仪器有限公司;HG-9075L 型立式鼓风干燥箱,北京亚太科隆技术有限公司。

1.2 红薯叶多酚的提取

将晒干的红薯叶除去茎和叶柄后于粉碎机中粉碎,置于干燥阴凉处保存[7]。称取红薯叶粉末 1.0 g,置于 100 mL 锥形瓶中,按一定料液比加入一定体积分数的乙醇,超声一定时间,过滤,收集滤液,即为红薯叶多酚提取液。

1.3 红薯叶多酚提取率的测定

1.3.1 没食子酸标准曲线的绘制[8-11]

准确称取 5 mg 干燥的没食子酸标准品,用纯化水制成浓度为 0.1 mg·mL $^{-1}$ 的没食子酸标准溶液。分别移取没食子酸标准溶液 0.2 mL、0.4 mL、0.6 mL、0.8 mL、1.0 mL 于 10 mL 容量瓶中,加入 1 mL 福林酚溶液和 2 mL 碳酸钠溶液,用纯化水定容至刻度,避光反应 1 h,以纯化水为空白,测定 765 nm 处吸光度。以没食子酸浓度为横坐标、吸光度为纵坐标绘制标准曲线(图 1),拟合得线性回归方程为: y=0.836x+0.0624, $R^2=0.9967$ 。

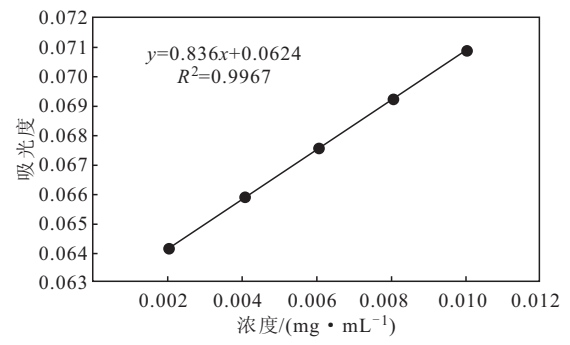


图 1 没食子酸标准曲线

Fig. 1 Standard curve of gallic acid

1.3.2 多酚提取率的测定

移取 1 mL 红薯叶多酚提取液,置于 10 mL 容量瓶中,用乙醇定容至刻度,按 1.3.1 测定吸光度,按式 (1) 计算多酚提取率:

多酚提取率=
$$\frac{c \times V \times n}{1000 \times m} \times 100\%$$
 (1)

式中:c 为经标准曲线方程计算得到的多酚浓度, $mg \cdot mL^{-1}$;V 为提取液体积,mL;n 为稀释倍数;m 为红薯叶粉末质量,g。

1.4 提取工艺优化

采用单因素实验,考察乙醇体积分数(50%,60%,70%,80%,90%)、料液比(1:10,1:15,1:20,1:25,1:30,g:mL,下同)、提取温度(40%,50%,60%,60%,70%,70%,80%)、提取时间 $(30\ min,35\ min,40\ min,45\ min,50\ min)$ 对红薯叶多酚提取率的影响。

在单因素实验的基础上,以红薯叶多酚提取率为评价指标,以提取温度、乙醇体积分数、料液比、提取时间为自变量,利用 Design-Expert 8.0.6 软件进行 4 因素 3 水平响应面实验设计,以进一步优化红薯叶多酚

的超声辅助提取工艺。

1.5 抗氧化活性评价[9-12]

1.5.1 红薯叶多酚对 DPPH 自由基清除率的测定

分别配制浓度为 $4 \text{ mg} \cdot \text{mL}^{-1} \setminus 8 \text{ mg} \cdot \text{mL}^{-1} \setminus 12$ $\text{mg} \cdot \text{mL}^{-1} \setminus 16 \text{ mg} \cdot \text{mL}^{-1} \setminus 20 \text{ mg} \cdot \text{mL}^{-1}$ 的红薯叶多酚溶液和 VC 对照溶液。准确移取各浓度待测溶液 2 mL,加入 DPPH 自由基溶液 2 mL,据匀,暗处反应 1 h,测定 517 nm 处吸光度,按式(2)计算 DPPH 自由基清除率:

DPPH 自由基清除率=
$$(1-\frac{A_1-A_2}{A_0})\times 100\%$$
 (2)

式中: A_0 为 2 mL DPPH 自由基溶液 + 2 mL 72%乙醇的吸光度; A_1 为 2 mL DPPH 自由基溶液 + 2 mL 待测溶液的吸光度; A_2 为 2 mL 72%乙醇 + 2 mL 待测溶液的吸光度。

1.5.2 红薯叶多酚对 ABTS 自由基清除率的测定

参照文献 $^{[10,12]}$ 方法测定 734 nm 处吸光度,按式 (3)计算 ABTS 自由基清除率:

ABTS 自由基清除率=
$$(1-\frac{A_1-A_2}{A_0}) \times 100\%$$
 (3)

式中: A_0 为 2 mL ABTS 自由基溶液 +2 mL 72% 乙醇的吸光度; A_1 为 2 mL ABTS 自由基溶液 +2 mL 待测溶液的吸光度; A_2 为 2 mL 72% 乙醇 +2 mL 待测溶液的吸光度。

2 结果与讨论

2.1 单因素实验结果

2.1.1 乙醇体积分数的选择

在料液比为 1:25、提取时间为 $30 \min$ 、提取温度为 60 °C的条件下,考察乙醇体积分数对红薯叶多酚提取率的影响,结果见图 2。

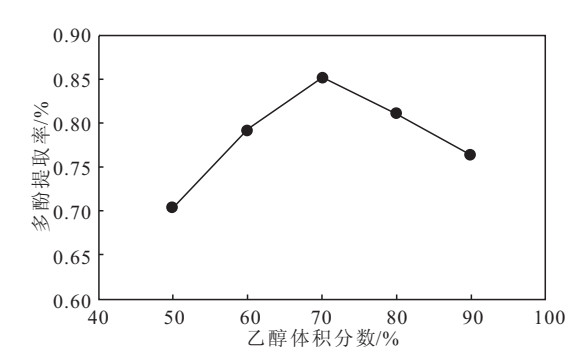


图 2 乙醇体积分数对红薯叶多酚提取率的影响

Fig. 2 Effect of ethanol volume fraction on extraction rate of polyphenols from *Ipomoea batatas* Lam, leaves

由图 2 可知,随着乙醇体积分数的增大,红薯叶多酚提取率先升高后降低,当乙醇体积分数为 70 % 时,

多酚提取率达到最高。这是因为,乙醇体积分数过小时,溶剂极性较大,而多酚不易溶于强极性溶剂,导致多酚提取率较低;乙醇体积分数过大时,溶剂极性变小,多酚也不易溶于弱极性溶剂,且会引入较多弱极性杂质,导致多酚提取率下降。故选择乙醇体积分数70%作为响应面实验的中心点。

2.1.2 料液比的选择

在乙醇体积分数为 70%、提取时间为 30 min、提取温度为 $60 \text{ } \mathbb{C}$ 的条件下,考察料液比对红薯叶多酚提取率的影响,结果见图 3。

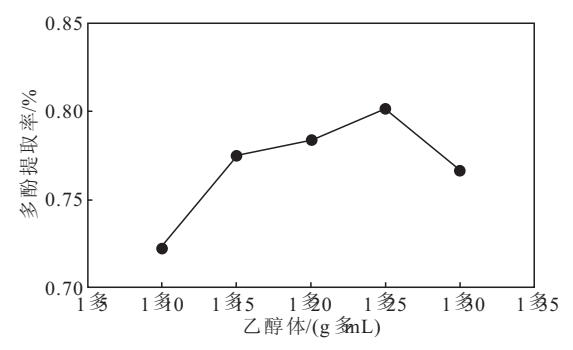


图 3 料液比对红薯叶多酚提取率的影响

Fig. 3 Effect of solid-liquid ratio on extraction rate of polyphenols from *Ipomoea batatas* Lam. leaves

由图 3 可知,随着料液比的减小,即溶剂用量的增加,红薯叶多酚提取率先逐渐升高而后降低,当料液比为 1:25 时,多酚提取率达到最高。这是因为,当料液比为 1:25 时,大部分目标成分已从红薯叶中溶出,达到动态平衡即饱和状态,再增加溶剂用量,反而会引入更多的杂质,使得后续过滤、纯化工序不但难度加大,还会将目标成分包裹在内而除掉,导致多酚提取率降低。故选择料液比 1:25 作为响应面实验的中心点。

2.1.3 提取温度的选择

在料液比为 1:25、乙醇体积分数为 70%、提取时间为 $30 \min$ 的条件下,考察提取温度对红薯叶多酚提取率的影响,结果见图 4。

由图 4 可知,随着提取温度的升高,红薯叶多酚提取率先升高后降低,当提取温度为 60 ℃时,多酚提取率达到最高。可能是由于,提取温度过低时提取程度不够;但是提取温度过高时,会导致红薯叶多酚分解,多酚提取率降低。故选择提取温度 60 ℃作为响应面实验的中心点。

2.1.4 提取时间的选择

在料液比为 1:25、乙醇体积分数为 70%、提取温度为 60%的条件下,考察提取时间对红薯叶多酚提取率的影响,结果见图 5。

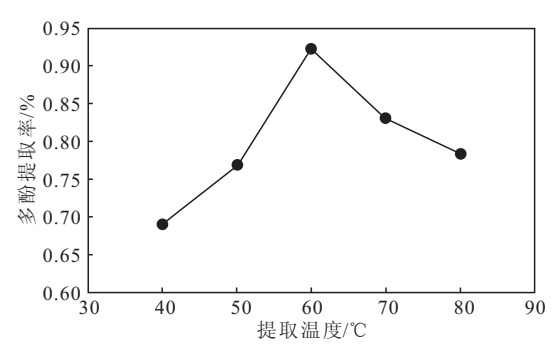


图 4 提取温度对红薯叶多酚提取率的影响

Fig. 4 Effect of extraction temperature on extraction rate of polyphenols from *Ipomoea batatas* Lam, leaves

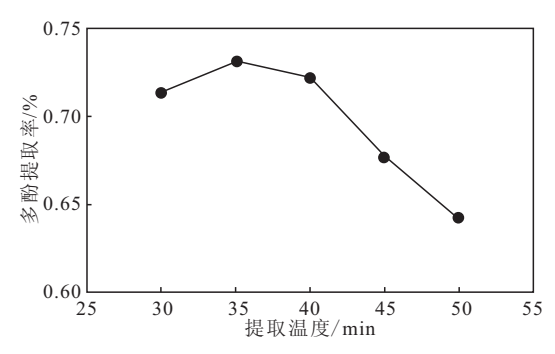


图 5 提取时间对红薯叶多酚提取率的影响

Fig. 5 Effect of extraction time on extraction rate of polyphenols from *Ipomoea batatas* Lam, leaves

由图 5 可知,随着提取时间的延长,红薯叶多酚 提取率先缓慢升高而后急剧降低,当提取时间为 35 min 时,多酚提取率达到最高。故选择提取时间 35 min 作为响应面实验的中心点。

2.2 响应面实验结果

2.2.1 响应面实验设计及结果(表 1)

2.2.2 回归模型的建立与方差分析

采用 Design-Expert 8.0.6 软件对实验结果进行分析,得到多元回归方程:Y=0.90-(5.500E-003)A+0.012B-0.018C-(8.750E-003)D+0.025AB-(5.500E-003)AC+(4.250E-003)AD+0.014 $BC-0.021BD+0.034CD-0.012A^2-0.028B^2-0.018C^2-0.055D^2$ 。

回归模型的方差分析见表 2。

由表 2 可知,模型的 P<0.0001,呈高度显著性;失拟项 F=0.16,P=0.9919,不显著。表明预测的实验结果与实际相吻合,说明该模型可用于优化红薯叶多酚提取工艺。模型精度较好,局部调整比例($R_{\rm adj}^2$)为0.9599,表明模型与响应值 95.99%一致,可以解释95.99%响应值的变化;变异系数(CV)为 92%,说明该模型设计与主要实验结果相关,且基本保持一致。

表 1 响应面实验设计及结果

Tab. 1 Design and results of response surface methodologies

 序号	A. 提取温度	B. 乙醇体积分数	C. 料液比	D. 提取时间	Y. 多酚提取率
	℃	%	g: mL	min	%
1	60	70	1:25	35	0.788462
2	60	70	1:30	30	0.942308
3	60	80	1:25	40	0.807692
4	70	60	1:25	35	0.721154
5	70	70	1:25	30	1.000000
6	70	80	1:25	35	0.826923
7	60	70	1:25	35	0.759615
8	60	80	1:30	35	0.971154
9	60	70	1:25	35	0.903846
10	50	70	1:30	35	0.730769
11	50	70	1:25	30	0.894231
12	70	70	1:20	35	0.836538
13	70	70	1:30	35	0.740385
14	60	80	1:20	35	0.951923
15	60	60	1:25	30	0.884615
16	60	70	1:30	40	0.923077
17	70	70	1:25	40	0.923077
18	60	70	1:20	40	0.894231
19	60	70	1:25	35	0.730769
20	60	60	1:25	40	0.769231
21	60	70	1:20	30	0.980769
22	60	70	1:25	35	0.692308
23	50	60	1:25	35	0.836538
24	50	70	1:20	35	0.788462
25	60	60	1:20	35	0.855769
26	50	80	1:25	35	0.798077
27	50	70	1:25	40	0.711538
28	60	80	1:25	30	0.979986
29	60	60	1:30	35	0.730769

其中,一次项 $A \setminus B \setminus C \setminus D$ 对红薯叶多酚提取率的影响显著;交互项 $AB \setminus BC \setminus BD \setminus CD$,二次项 $A^2 \setminus B^2 \setminus C^2 \setminus D^2$ 对红薯叶多酚提取率的影响极显著。从 F 值可知,4 个因素对红薯叶多酚提取率的影响大小依次为:C(料液比)>B(乙醇体积分数)>D(提取时间)>A(提取温度)。

2.2.3 响应面分析

各因素交互作用对红薯叶多酚提取率影响的响应 面图如图 6 所示。

由图 6 可知: 乙醇体积分数的曲线平缓(图 6a), 变化幅度不大,说明乙醇体积分数对多酚提取率的影

表 2 方差分析 Tab. 2 Analysis of variance

来源	平方和	自由度	均方	F 值	P 值	显著性
模型	0.039	14	2.763E-003	44.33	<0.0001	***
A	3.630E-004	1	3.630E-004	5.82	0.0301	*
B	1.801E-003	1	1.801E-003	28.89	<0.0001	***
C	3.745E-003	1	3.745E-003	60.09	<0.0001	***
D	9.188E-004	1	9.188E-004	14.74	0.0018	**
AB	2.550E-003	1	2.550E-003	40.92	<0.0001	***
AC	1.210E-004	1	1.210E-004	1.94	0.1852	
AD	7.225E-005	1	7.225E-005	1.16	0.2998	
BC	8.123E-004	1	8.123E-004	13.03	0.0028	**
BD	1.806E-003	1	1.806E-003	28.98	<0.0001	***
CD	4.556E-003	1	4.556E-003	73.10	<0.0001	***
A^2	8.867E-004	1	8.867E-004	14.23	0.0021	**
B^2	5.110E-003	1	5.110E-003	81.98	<0.0001	***
C^2	2.030E-003	1	2.030E-003	32.58	<0.0001	***
D^2	0.020	1	0.020	315.59	<0.0001	***
残差	8.726E-004	14	6.233E-005			
失拟项	2.458E-004	10	2.458E-005	0.16	0.9919	
纯误差	6.268E-004	4	1.567E-004			
总变异	0.040	28				

注: *** 表示 P<0.001,差异高度显著; ** 表示 P<0.01,差异极显著; *表示 P<0.05,差异显著。

响较弱,当升高提取温度时,多酚提取率降低,影响较为明显;提取温度与料液比的曲线比较平缓(图 6b),没有明显的升高或者降低,并且三维图接近于圆形,故对多酚提取率的影响不显著;提取时间的坡面较陡(图 6c),说明提取时间对多酚提取率的影响大于提取温度,与方差分析结果一致;乙醇体积分数与提取时间均对多酚提取率的影响很大(图 6e),这与方差分析中BD 交互高度显著性相吻合;随着料液比的减小及提取时间的延长,多酚提取率均呈下降趋势,且幅度很大,提取时间的曲线不平滑(图 6f),说明对多酚提取率的影响显著。

综上,红薯叶多酚提取工艺各参数的适宜范围为: 提取温度 $58\sim62$ $^{\circ}$ 、乙醇体积分数 $70\%\sim74\%$ 、料液比 $1:(20\sim22)$ 、提取时间 $30\sim35$ min。 经软件分析得到 红薯叶多酚的最佳提取工艺为:提取温度60.97 $^{\circ}$ 、乙醇体积分数 71.98% 、料液比 1:21.17 、提取时间 33.25 min,在此条件下,红薯叶多酚提取率可达 0.91006%。

2.3 工艺验证

考虑实际操作性,将红薯叶多酚的提取工艺调整为:提取温度 61 %、乙醇体积分数 72%、料液比 1:21

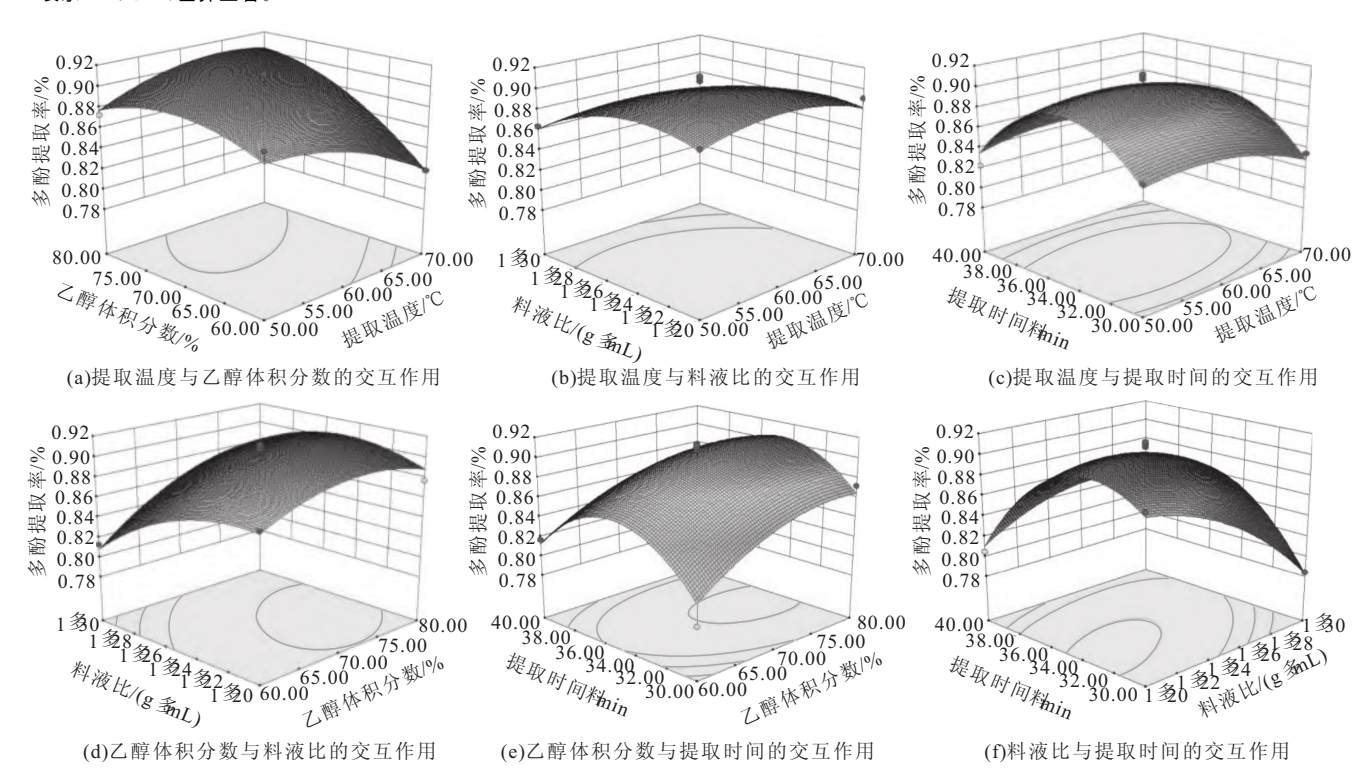


图 6 各因素交互作用对红薯叶多酚提取率影响的响应面图

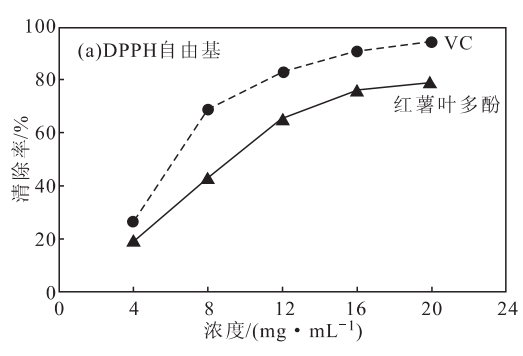
Fig. 6 Response surface plots for effect of interaction between various factors on extraction rate of polyphenols from *Ipomoea batatas* Lam. leaves

(g: mL)、提取时间 33 min。在此条件下进行 3 次平行验证实验,红薯叶多酚提取率分别为: 0. 9081%、0. 9072%、0. 9048%,平均值为 0. 9066%,与理论值 0. 91006%很接近。说明响应面法优化得到的提取工

艺可行。

2.4 抗氧化活性

红薯叶多酚对 DPPH 自由基、ABTS 自由基的清除能力见图 7。



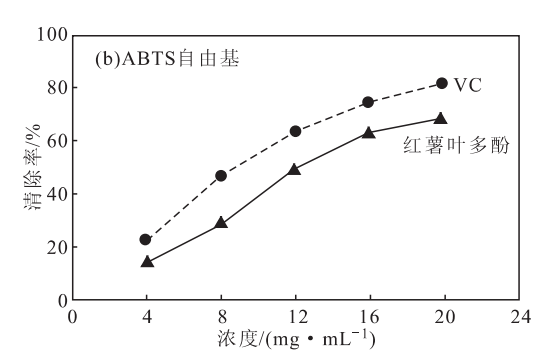


图 7 红薯叶多酚对 DPPH 自由基(a)、ABTS 自由基(b)的清除能力

Fig. 7 Scavenging ability of polyphenols from Ipomoea batatas Lam. leaves against DPPH free radicals(a) and ABTS free radicals(b)

由图 7 可知,随着红薯叶多酚和 VC 浓度的增大,两者对 DPPH 自由基、ABTS 自由基的清除率均呈上升趋势,且 VC 的清除率始终大于红薯叶多酚的。当红薯叶多酚和 VC 的浓度为 $20~mg \cdot mL^{-1}$ 时,两者对 DPPH 自由基的清除率分别为 78%、93%,对 ABTS 自由基的清除率分别为 69%、82%。 说明红薯叶多酚对 DPPH 自由基和 ABTS 自由基有较强的清除能力,但均弱于 VC。

3 结论

以红薯叶多酚提取率为评价指标,以提取温度、乙醇体积分数、料液比、提取时间为考察因素,在单因素实验的基础上,采用响应面法优化红薯叶多酚的超声辅助提取工艺,并通过测定红薯叶多酚对 DPPH 自由基及 ABTS 自由基的清除能力,评价其抗氧化活性。确定红薯叶多酚的最佳提取工艺为:提取温度 $61\ ^{\circ}$ 、乙醇体积分数 72%、料液比 1:21(g:mL)、提取时间 $33\ min$,在此条件下,红薯叶多酚提取率为 0.9066%,与理论值 0.91006%接近。红薯叶多酚具有一定的抗氧化活性,但在实验浓度范围内,其对 DPPH 自由基及 ABTS 自由基的清除率均低于 VC。本研究为红薯叶资源的进一步开发利用提供了依据。

参考文献:

- [1] 黄盛蓝,张家豪,梁冰雪,等. 红薯叶应用价值及开发利用现状 [J]. 现代农业科技,2014(19);309-311,313.
- [2] 张立明,王庆美,王荫墀.甘薯的主要营养成分和保健作用[J].中国食物与营养,2003(7):44-47.
 - ZHANG L M, WANG Q M, WANG Y C. Main nutritional com-

- ponents of *Ipomoea batatas* and its healthy functions[J]. Food and Nutrition in China, 2003(7); 44-47.
- [3] 傅志丰. 红薯叶多酚的溶剂提取、消化性及体内降血脂作用研究 [D]. 南昌:南昌大学,2016. FU Z F. Solvent extraction of polyphenols from sweet potato leaves and study on its *in vitro* digestibility, *in vivo* antihyperlipidemic
- effects[D]. Nanchang: Nanchang University, 2016.

 [4] 高荫榆,张彧,季玲. 红薯叶茎系统溶剂提取物抑菌作用研究[J].
 食品科学, 2006, 27(1): 174-176.

GAO Y Y,ZHANG Y,JI L. Research on bacteriostasis of systematic solvents extracts from sweet potato stem and leaf[J]. Food Science,2006,27(1):174-176.

- [5] 延永,李玉萌,张亦琳,等. 红薯叶总黄酮的提取工艺优化及其抑菌、抗氧化活性研究[J]. 广西林业科学,2018,47(3);311-315. YAN Y,LI Y Y,ZHANG Y L. et al. Optimization of extraction technology of flavonoids from sweet potato leaves and antimicrobial and antioxidant activity[J]. Guangxi Forestry Science,2018,47 (3);311-315.
- [6] 刘捷,张体祥,于立芹,等. 红薯叶多糖的分离纯化及其结构鉴定[J]. 河南工业大学学报(自然科学版),2010,31(5):46-50.

 LIU J,ZHANG T X,YU L Q, et al. Separation, purification and structural identification of polysaccharide from *Ipomoea batatas* Lam. leaves[J]. Journal of Henan University of Technology(Natural Science Edition),2010,31(5):46-50.
- [7] 张迎敏,任广跃,屈展平,等. 超声和烫漂预处理对红薯叶热风干燥的影响[J]. 食品与机械,2019,35(12):194-201.

 ZHANG Y M,REN G Y,QU Z P,et al. Effect of ultrasonic and blanching pretreatment on hot air drying of sweet potato leaves
 [J]. Food & Machinery,2019,35(12):194-201.
- [8] 李海平,高艳芳,姚宇,等.响应面法优化超声辅助提取壶瓶枣多酚工艺研究[J]. 食品研究与开发,2019,40(6):139-144.

 LI H P,GAO Y F,YAO Y,et al. The optimization of ultrasonic-assisted extraction of polyphenols from Huping jujube by response surface methodology[J]. Food Research and Development,2019,

40(6):139-144.

- [9] 曹艳华,程丽丽,张小芳.响应面法优化洋葱多酚的提取工艺及抗氧化性研究[J]. 食品研究与开发,2020,41(12):164-170.
 CAO Y H,CHENG L L,ZHANG X F. Study on extraction of polyphenol from onion by response surface methods and antioxidant activity[J]. Food Research and Development,2020,41(12): 164-170.
- [10] 马金爽,韦少睁,王潇哲,等.蛋黄果多酚的提取工艺及其抗氧化活性[J]. 食品研究与开发,2021,42(13):137-144.

 MA J S, WEI S Z, WANG X Z, et al. Extraction and antioxidation of polyphenols from *Pouteria campechiana* [J]. Food Research and Development,2021,42(13):137-144.
- [11] 闫旭宇,李娟,任潘,等. 银杏叶多酚超声辅助提取工艺及其对羟自由基的清除作用[J]. 食品研究与开发,2020,41(19):99-104. YAN X Y,LI J,REN P, et al. Optimization of polyphenols from *Ginkgo biloba* leaves by ultrasound-assisted extraction and its scavenging capacity on hydroxyl free radicials[J]. Food Research and Development,2020,41(19):99-104.
- [12] 钟伟,曹双,郑必胜. 红薯叶不同极性溶剂提取物的体外抗氧化活性[J]. 食品工业,2015,36(4):207-209.
 ZHONG W,CAO S,ZHENG B S. Antioxidant activities of different solvent extracts from *Ipomoea batatas* leaves[J]. The Food Industry,2015,36(4):207-209.

(上接第5页)

- [40] SGROI M, ANUMOL T, VAGLIASINDI F G A, et al. Comparison of the new Cl₂/O₃/UV process with different ozone- and UV-based AOPs for wastewater treatment at pilot scale; removal of pharmaceuticals and changes in fluorescing organic matter[J]. Science of the Total Environment, 2021, 765; 142720.
- [41] HASSANSHAHI N, KARIMI-JASHNI A. Comparison of photo-Fenton, O₃/H₂O₂/UV and photocatalytic processes for the treatment of gray water[J]. Ecotoxicology and Environmental Safety, 2018,161:683-690.
- [42] SRITHEP S, PHATTARAPATTAMAWONG S. Kinetic removal of haloacetonitrile precursors by photo-based advanced oxidation processes (UV/H₂O₂, UV/O₃, and UV/H₂O₂/O₃)[J]. Chemosphere, 2017, 176: 25–31.
- [43] 宋武昌,杜振齐,李桂芳,等, UV/H₂O₂/O₃ 高级氧化技术降解藻源 NDMA 前体物特性研究[J]. 给水排水,2021,47(5):27-33. SONG W C, DU Z Q, LI G F, et al. Degradation of NDMA precursors from algae by UV/H₂O₂/O₃ advanced oxidation technology[J]. Water & Wastewater Engineering, 2021,47(5):27-33.
- [44] ACHARYA S M, CHAKRABORTY R, TRINGE S G. Emerging trends in biological treatment of wastewater from unconventional oil and gas extraction [J]. Frontiers in Microbiology, 2020,

11.569019.

- [45] MIRNASAB M A, HASHEMI H, SAMAEI M R, et al. Advanced removal of water NOM by pre-ozonation, enhanced coagulation and bio-augmented granular activated carbon [J]. International Journal of Environmental Science and Technology, 2021, 18(3): 3143-3152.
- [46] WANG X Y, XIA J H, DING S X, et al. Removing organic matters from reverse osmosis concentrate using advanced oxidation-biological activated carbon process combined with Fe³⁺/humus-reducing bacteria[J]. Ecotoxicology and Environmental Safety, 2020, 203, 110945.
- [47] DU Z Q, JIA R B, LI C C, et al. Pilot-scale UV/H₂O₂-BAC process for drinking water treatment-analysis and comparison of different activated carbon columns [J]. Chemical Engineering Journal, 2020,382;123044.
- [48] TAK S. VELLANKI B P. Comparison of O₃-BAC, UV/H₂O₂-BAC, and O₃/H₂O₂-BAC treatments for limiting the formation of disinfection byproducts during drinking water treatment in India[J]. Journal of Environmental Chemical Engineering, 2020, 8 (5):104434.

版权声明

为适应我国信息化建设的需要,扩大本刊及作者知识信息交流渠道,本刊已许可《中国学术期刊网络出版总库》、《中国学术期刊(光盘版)》电子杂志社、中国知网(CNKI)系列数据库、《万方数据——数字化期刊群》、《中文科技期刊数据库(全文版)》、超星域出版平台等以数字化方式复制、汇编、发行、信息网络传播本刊全文。作者著作权使用费与本刊稿酬一次性给付。如作者不同意论文被收录,请在来稿时向本刊声明,本刊将做适当处理。

《化学与生物工程》编辑部